

Lorte gross

Neste capítulo estuda-se lorte gross, sabendo-se que se verifica em alguns elementos estruturais parciais, dentre os quais se destaca as ligações de grossa estruturação por meio de rebites, parafusos, soldas, martelos, etc.

Para facilitar a compreensão do que é o lorte gross, vai-se entrar detalhadamente por meio de um exemplo.

Exemplo 1

Dimensionalizar a ligação representada na Fig. 1, em que duas chapas terminadas — as chapas 1 e 2 — são unidas por meio de um rebite.

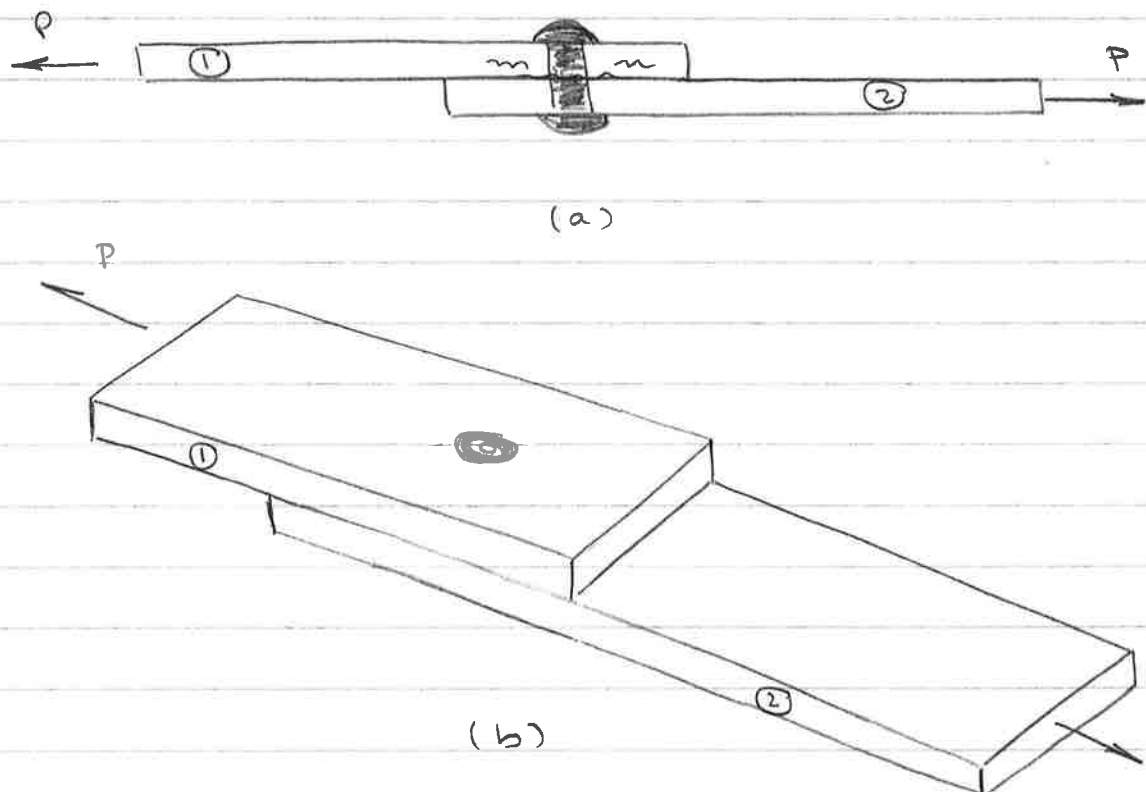


Fig. 1

esta ligação pode se romper de diversas maneiras, e o seu dimensionamento deve ser feito de modo que não apresente descontinuidade nem ruptura a todas estas formas de ruptura.

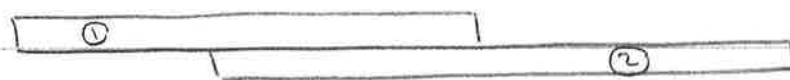
Devem-se fazer, portanto, diversas verificações de segurança.

A primeira verificação que realizo é aqui, a verificação das tensões de esforçoamento no rebordo, e a ultrapassada as certas pressões.

a) Verificações da tensão de esforçoamento no rebordo.

Como funcionaria a ligação da Fig. 1?

As não existiria o rebordo unindo as duas chapas, como indicado na Fig. 2(a), a aplicação de uma força externa em uma das chapas, por exemplo, na chapa 2, faria com que esta chapa se deslocasse para a direita, e removendo-se sobre a chapa 1 (Fig. 2(b)), não se dando assim nenhuma ligação das duas chapas.



(a)



(b)

Fig. 2

existindo o rebote, ouve a efetiva ligação das megas, pois elle impede o desengamento de uma mega em relação à outra.

É bastante intuitivo que, se se for aumentando o valor das forças e aplicadas às ligas da ligação de Fig. 1, o rebote acaba por se romper na siga localizada na interface entre as duas megas, opondo o desligamento de uma mega em relação à outra, desfazendo-se assim a ligação (Fig. 3)

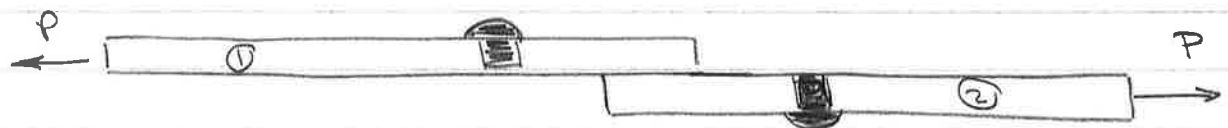


Fig. 3

Dá-se o nome de corte guno à violação que se tem na siga do rebote em função da ruptura - a siga num da Fig. 1(a).

Como se observa na Fig. 3, a ruptura se dá pelo fato de ter ocorrido o corte do rebote segundo a siga num.

É isto que caracteriza o corte guno; ele é a violação que tende a produzir o corte da bama, que tende a fazer com que uma das partes da bama se move para cima ou para baixo de uma das suas transversais.

Ela é a origem do nome "corte guno". Existe a tentativa de se voltar a bama na siga em função de se dar.

Tem-se visto que na seção mn que descreve a geometria da ligação - que se faz por atracamento de garras. É a particular combinação de forma e de cunhamento verificada na ligação da Fig. 1 que leva ao corte que se vê na seção mn.

Toda vez que se tem uma geometria com cunhamento tal que haja a tendência de tracionar o corte que é norteados de uma banda inferior a uma de suas faces transversais, o traçado que resulta é a particular seção.

As ideias mais simples e claras das garras de mola exemplificam que sejam apresentados adiante.

Na Fig. 4 mostra-se a ligação da Fig. 1 separada em duas partes por mais de um corte cunhando a seção mais desenhada, verificando-se que nessa seção, houve uma força cortante de intensidade P .

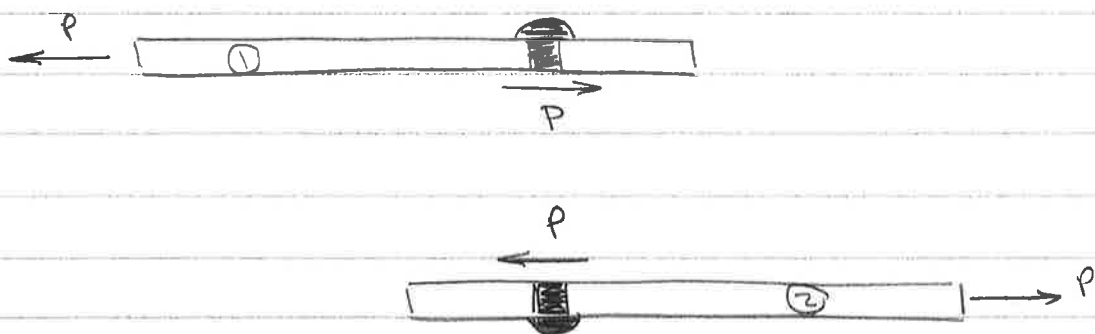


Fig. 4

Essa força cortante é a força respeitável pelo corte que se vê na seção mn, fazendo com que uma parte do rebite tenda a engrenar sobre a outra.

Admitindo, na distância dos materiais, que todos os parâmetros da seção mn sejam iguais,

igualmente na transversal dos eixos horizontais, ou seja, admitem-se as turas de usinamento na sua transversal com eixos constantes, e assim obtém a

$$\tau = \frac{P}{A} = \frac{P}{\frac{\pi d^2}{4}}, \quad (1)$$

sendo d o diâmetro da seção.

Estas turas de usinamento na sua secção são chamadas emendas e são indicadas na Fig. 5.

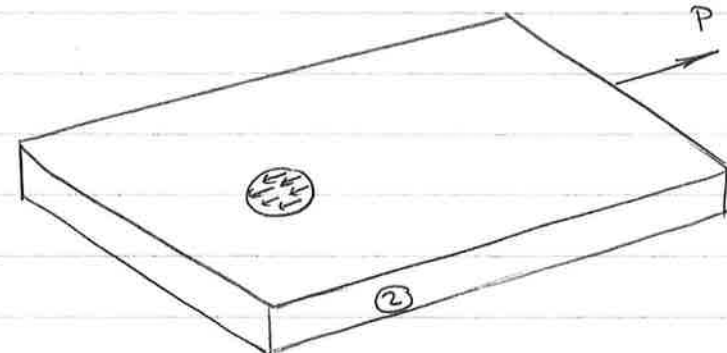
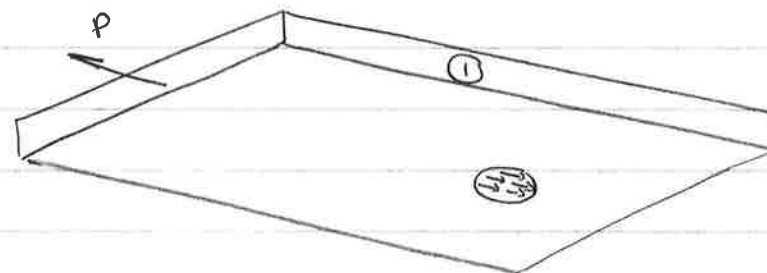


Fig. 5

diminuir as turas de usinamento no rebite abra-

tem o valor de tensão de um fio a respeito do material que o constitui, conforme a unidade adotada, e, consequentemente, da ligação.

Talvez, neste ponto de regência, o leitor esteja preocupado com dânde algarismos das considerações feitas, por que já se fizeram outras não tratando filamento ou mal comportamento da ligação estrutural.

Esses algarismos devem ser vistos e encontrados totalmente satisfatórios.

Resumindo a ligação da Fig. 1, verifica-se claramente que ela não está em equilíbrio, pois as forças de tração que atuam nas chapas contribuem para tracionar, cujo momento não se mantém em equilíbrio.

Este binário provoca uma rotação da ligação, em direção a de fundo, surgiendo nas chapas forças vertentes e momentos fletores. O equilíbrio da ligação é obtido quando os momentos das forças de tração e equilibradas pelos momentos das forças vertentes e dos momentos fletores.

A configuração de equilíbrio da ligação é a mostrada na Fig. 6.

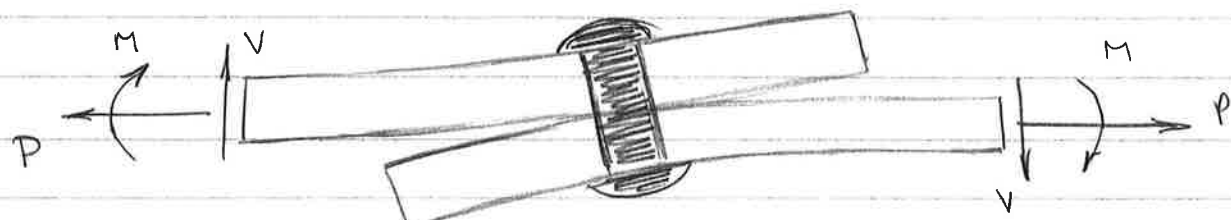


Fig. 6

Observe-se que, na Fig. 6, uma força de ação resultante do rebite, tem-se, além da força V indicada na Fig. 4, a força V' , também mostrada na Fig. 7. Neste caso, na vez de nenhuma força, existente a força normal.

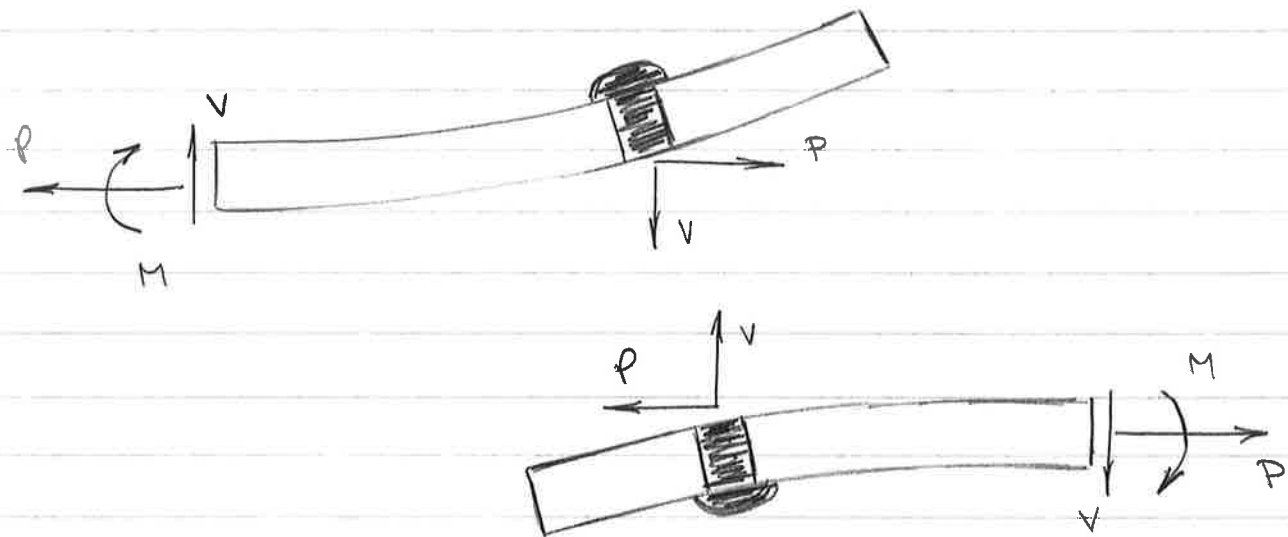


Fig. 7

O estudo da ligação real é ainda mais complexo. Na Fig. 8, cada um dos elementos de ligação é apresentado isoladamente.

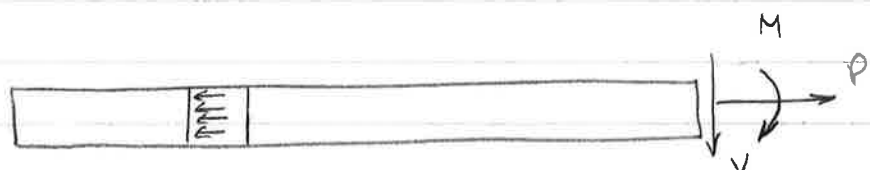
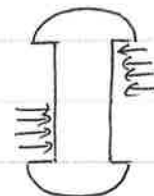
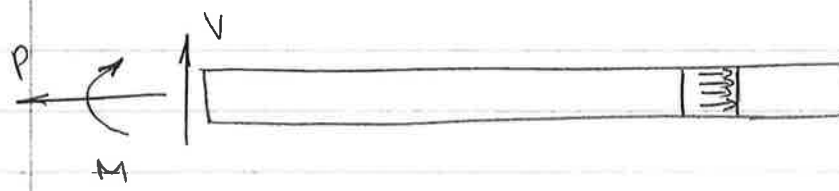


Fig. 8

Estão indicados nesta figura os efeitos que o
vórtice aplica nas chapas nos suje fixos semi-cilíndricos
de contactar entre elas; também estão indicados os efeitos
que as chapas aplicam no vértice nestas mesmas
superfícies de contactar entre elas.

Observa-se que os efeitos aplicados no vértice
consistem num binário, formado de uma força
horizontal e de um momento paralelo.
Têm os efeitos saindo dirigidos nos sentidos dos vértices
das chapas, como se mostra na Fig. 9.

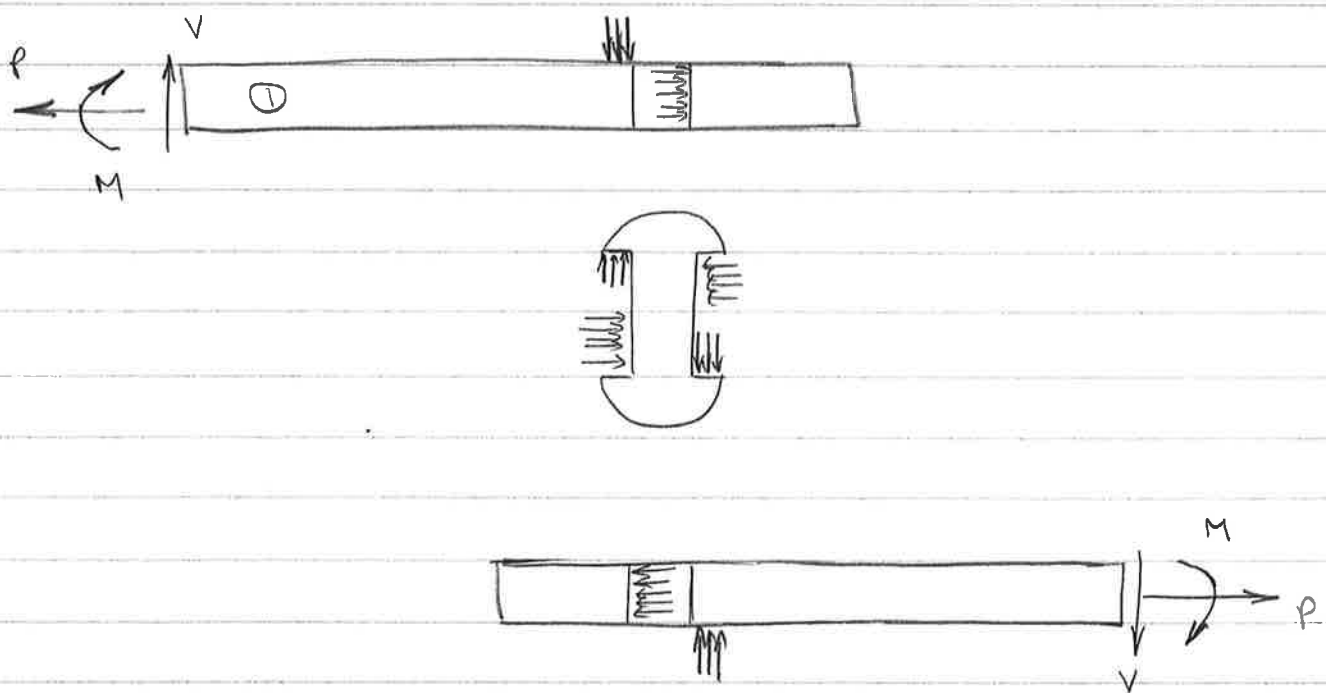


Fig. 9

Veificase, portanto, que no vértice tem força
normal, força vertical e momento fletor. Daí dizer
que, no vértice, tem-se apenas força normal e
força vertical, anulando-se nula o momento
fletor.

Conclui-se, então, considerações para o estudo

ajuste dos esforços que atuam na ligação em tração é bastante complexo.

Por este motivo, opta-se na resistência dos materiais por se fazer um estudo aproximado da ligação, baseado na seguinte hipótese simplificadora: admite-se que o comportamento da ligação depende exclusivamente da força, aplicada em sua seção, sem a considerar a existência da força normal.

Em decorrência desta e das demais simplificações feitas, a resistência da ligação, da ligação quanto ao trabalho de tração, toma uma forma sistematicamente simples: a ligação é considerada sólida e tem capacidade a condutora.

$$\sigma = \frac{P}{\frac{\pi d^2}{4}} \leq \bar{\sigma}, \quad (2)$$

onde $\bar{\sigma}$ é a tensão de trabalho admisível do material da alça.

Desta expressão, obtém-se o diâmetro da alça que deve ser utilizada na ligação das duas chapas:

$$d \geq 2 \sqrt{\frac{P}{\pi \bar{\sigma}}}; \quad (3)$$

adiando = número de milímetros mto. ligação a

$$d = 2 \sqrt{\frac{P}{\pi \bar{\sigma}}}. \quad (4)$$

É esta a expressão que permite determinar o diâmetro de do rebite; nota-se também entretanto todas as approximações e simplificações feitas das engenharias matemáticas da ligação. Da mesma, por exemplo, a hipótese feita de se considerar que as tensões de cizamento nas fibras transversais do rebite sejam constantes; também em uma a simplificação feita de se admitir que a rugosidade do rebite por cizamento só dependa da força aplicada, em a considerar a força normal.

Como é que este modelo matemático, apesar de envolver várias approximações e simplificações, pode ser utilíssimo e fragmento no resultado de uma ligação real?

A resposta a esta pergunta é muito simples: porque a tensão de cizamento limite do material do rebite, a partir de qual se determina a tensão de cizamento admissível, é obtida a partir de ensaios de rugosidade ligadas ao rebite, mais calculados com as mesmas hipóteses que levaram à expressão (1).

Nestes ensaios obtém-se a força que leva à ruptura da ligação; a partir dela, calcula-se o limite de cizamento a tensão de cizamento limite do material do rebite por meio de

$$T_c = \frac{P_e}{\frac{\pi d^2}{4}} \quad (5)$$

Portanto, segundo o cálculo da expressão (5),

União à tensão admittivel

$$\bar{\sigma} = \frac{\sigma_0}{\gamma} . \quad (6)$$

A tensão de usíhamento admittivel é $\bar{\sigma}$, portanto, seguido no módulo da tensão, por gráu de união de ligação maior.

Um grande - e embaixo parado - pode empregar a verificação (2) no grau de uma ligação maior: nela são comparadas duas tensões de usíhamento - σ e $\bar{\sigma}$ - obtidas com bases nas mesmas hipóteses e para os tempos diferentes, que se impõem necessariamente o comportamento da ligação; como é provável de unões de ligações maiores, a verificação (2) é feita a rigor da ligação pronta, isto é, sem ter que se considerar a sua formação.

É óbvio que não é de se admirar que este resultado, mais que generalizar, facilmente o comportamento de ligações maiores, possa ser estabelecido num certo tipo de sólidos, que possibilite determinar a ligação de forma aparente a rigida.

Há, no entanto, no final do capitulo, várias são as possíveis causas de rigidez da ligação, e a rigidez relativamente a todas elas deve ser verificada.

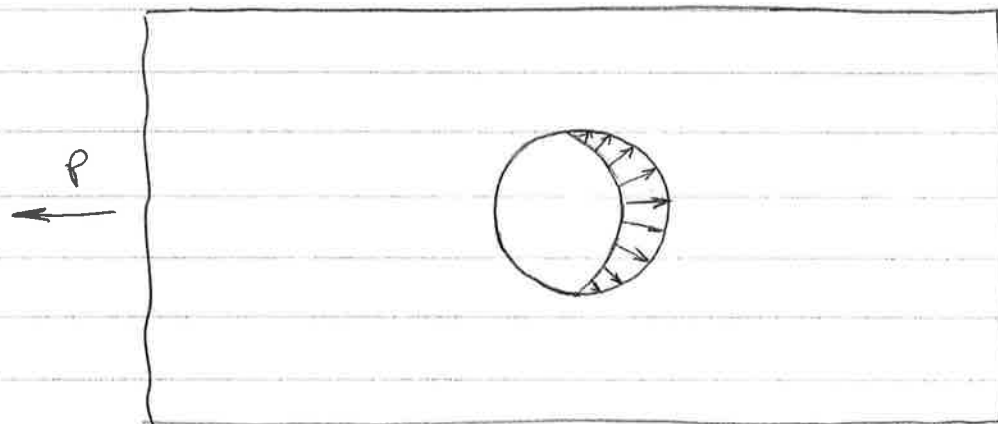
A que se alinha de fazer, da tensão de usíhamento no sólido, permite determinar o diâmetro d.

Basta-se agora a uma outra verificação, a da tensão de tensão entre o sólido e as chaves.

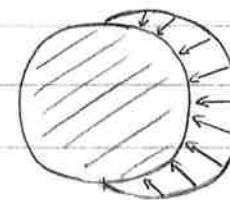
b) Verificação da tensão de corte entre o rebite e as chaves

na Fig. 9 estão indicadas as esforços que
atêm agiria nas chaves e os esforços para as chaves
afirmam sua aderência.

Estes esforços são transmitidos de um elemento
ao outro pelas superfícies semi-cilíndricas da rebite
entre elas, onde atuam as tensões indicadas
na Fig. 10; na Fig. 10 (a) representam-se as
tensões aplicadas na chave 1 pelo rebite na
Fig. 10 (b), as tensões aplicadas no rebite pela
chave 1.



(a)



(b)

Fig. 10

Se as tensões de contato (também chamadas tensões de esmagamento) forem elevadas, poderá ocorrer o esmagamento da chapa guia sobre, com o consequente deslocamento da chapa, como se indica na Fig. 11.

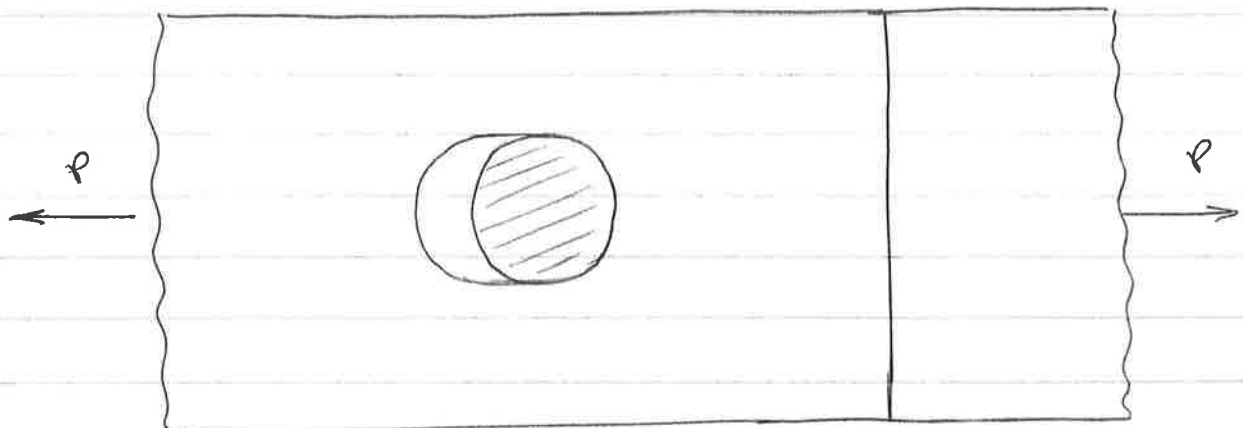


Fig. 11

Para evitar este tipo de ruptura, deve-se limitar o valor das tensões de contato entre o rebite e a chapa.

Considerando a distribuição das tensões de contato simuladas na Fig. 10 da referida determinação, define-se uma tensão de contato conveniente, dada por

$$\sigma_b = \frac{P}{e_d}, \quad (7)$$

onde e_d é a espessura da chapa.

Observa-se que a tensão de contato conveniente é obtida dividindo a força transmitida pelo rebite pela área da porção da chapa

que semi-ellíptica de contat sobre o plan
horizontal da unha (Fig. 12).

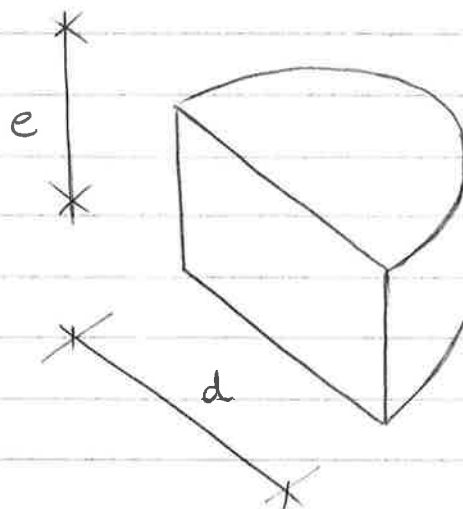


Fig. 12

a condición de seguram. da ligazón preventas
enmagazement da moga e dada por

$$\sigma_b = \frac{P}{ed} \leq \bar{\sigma}_b, \quad (8)$$

onde $\bar{\sigma}_b$ é a tensión admisible ao contat do
material da moga.

a tensión admisible no contat $\bar{\sigma}_b$ é da
ordem de dousas da tensión admisible à traxa $\bar{\sigma}_t$
do material da moga:

$$\bar{\sigma}_b \approx 2 \bar{\sigma}_t. \quad (9)$$

a expresión da moga pode ser obtida
a partir de (8):

$$e > \frac{P}{d \bar{\sigma}_b}; \quad (10)$$

adotando o critério de minimos custos, tem-se

$$e = \frac{P}{d \bar{\sigma}_b}. \quad (11)$$

A verificação para a ação da desunião é a do esmagamento da tigela pelo arame; poderia desenhar também o esmagamento do arame pela tigela, como é mostrado na Fig. 13.

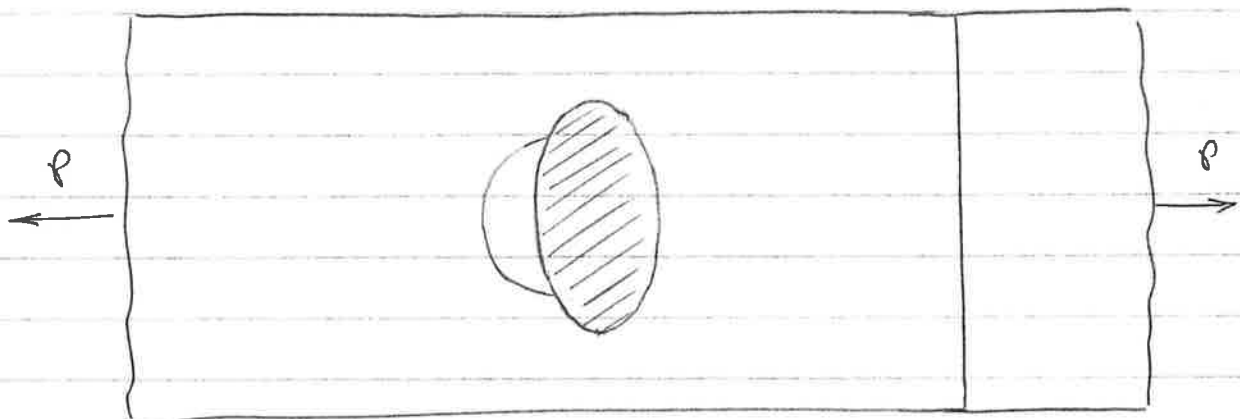


Fig. 13

A experiência mostra, entretanto, que nos ligares mais o pericône é o esmagamento da tigela pelo arame, não o contrário.

A verificação da tensão de tensão entre o arame e as tigelas permite o dimensionamento da engrenagem e das tigelas.

Sobre-agora é verificar a tensão da tigela de tra-

ley nas��as.

↳ Verificação da tensão de traçay nas��as.

A verificação da tensão de traçay nas��as permite determinar sua largura b (Fig. 14).

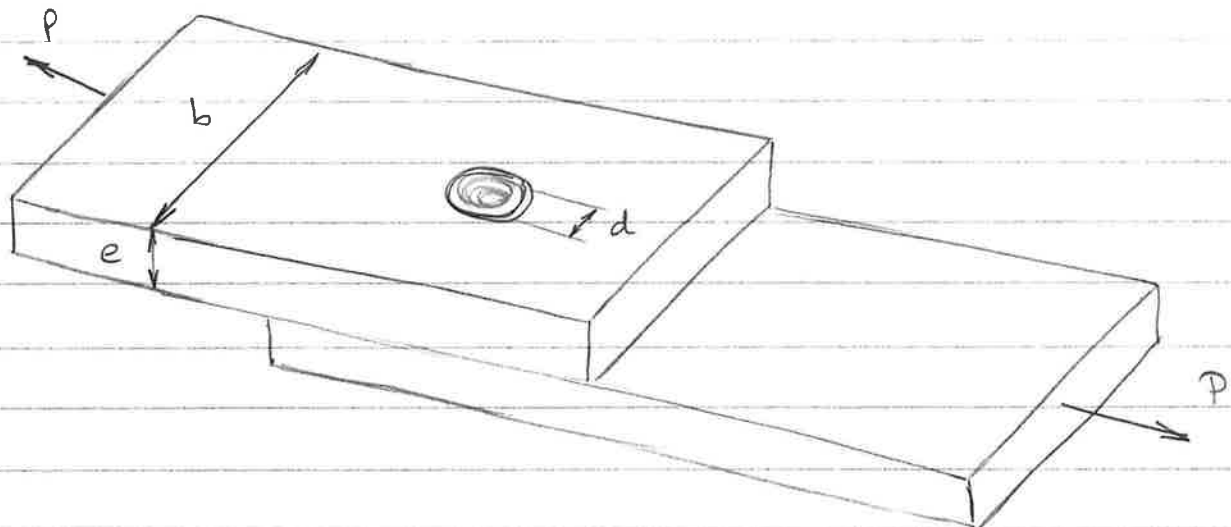


Fig. 14

Na Fig. 15 vê-se como a forma que atinge na��a 1, as tensões normais na borda exposta da��a, que ali este momento estavam sendo intituladas por sua resultante P , em concreto, a forma espliçivamente indicadas na figura, vê-se como também, de forma esquemática, o caminho que deve seguir, no sentido da��a 1.

Como se observa na Fig. 15, o fuso encontra a��a, ao diminuir sua rugos transversais.

A sua transversal de menor área é a que também o é de seu diâmetro, e é nela que a the-

fa grande se non se per tracó, como é mostrado
Fig. 16.

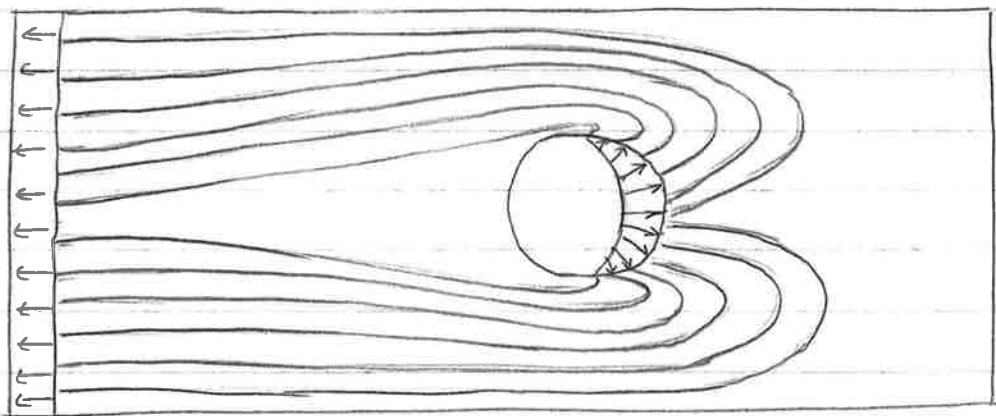


Fig. 15

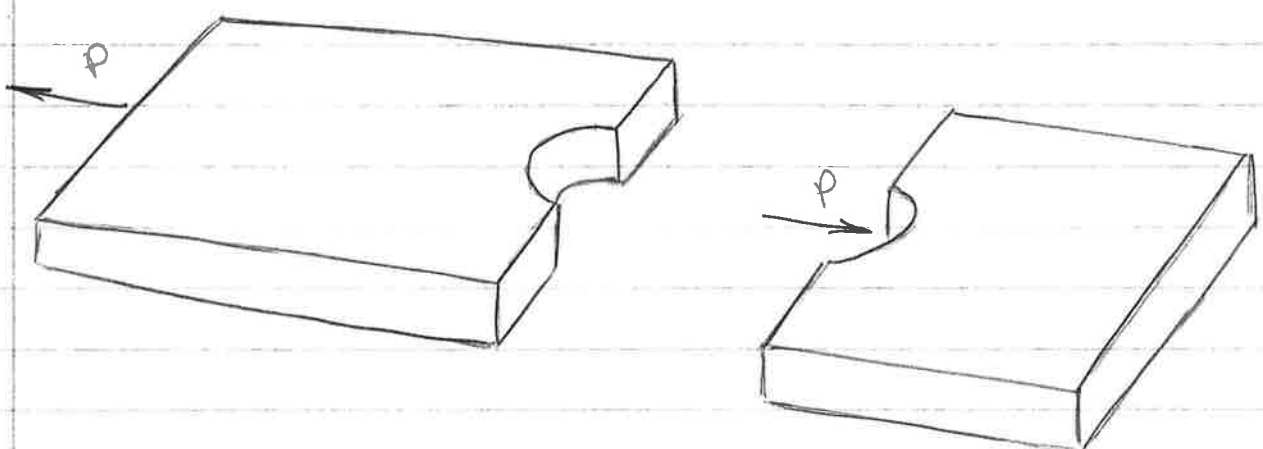


Fig. 16

Admitindo que os turvés da tracó nessa
seção mais elevada sejam uniformemente
distribuídos, tem-se como condição de securi-
tade da chega preventiva no tracó:

$$\sigma = \frac{P}{(b-d)} \leq \bar{\sigma}_t, \quad (12)$$

onde b é a largura da tigela, d , o diâmetro do rebote e e , a espessura da tigela; $\bar{\sigma}_t$ é a tensão admmissível à trama do material da tigela.

Na fig. 17 indicam-se as tensões nestas reas mais sollicitadas à trama.

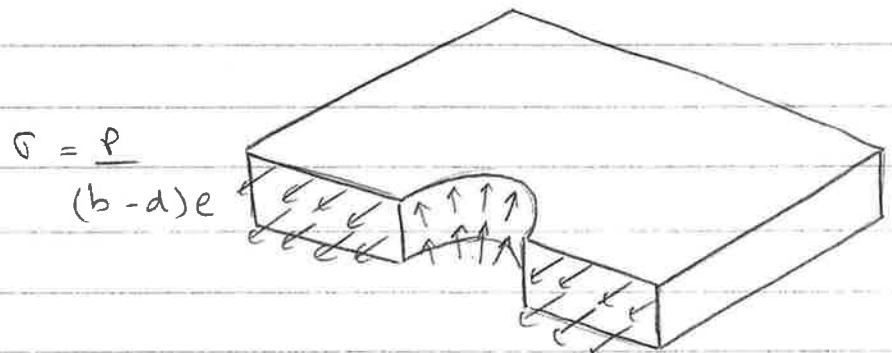
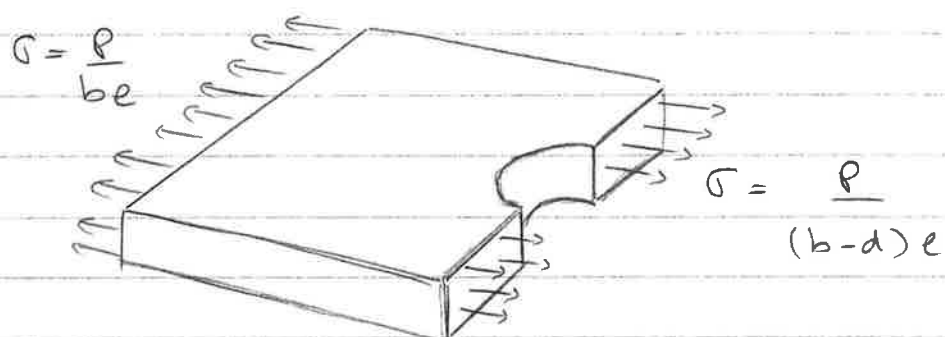


Fig. 17

A largura b das tigelas é obtida a partir de (12):

$$b = d + \frac{P}{\bar{\sigma}_t e} . \quad (13)$$

Verifica-se que, na ligação de tigelas trançadas, o furo em freio para as tigelas. O mesmo não se deu na ligação de tigelas com gramadas, como se observa na fig. 18, em que

Se indica o caminhamento dos esforços em barras rectilíneas.

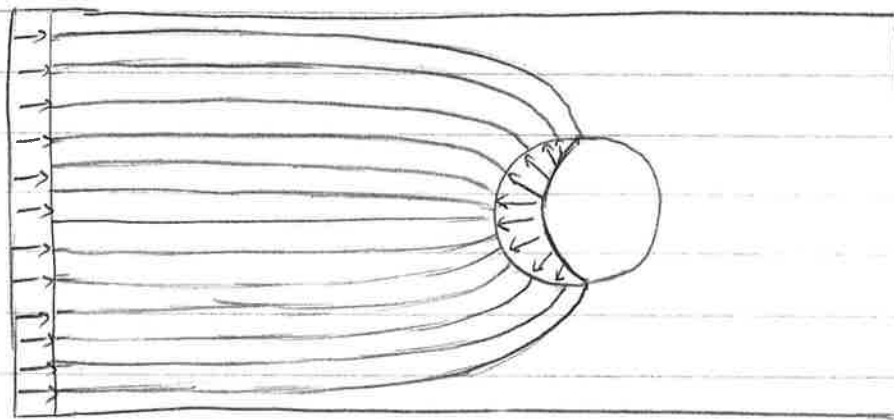


Fig. 18

Se os fios não estivessem os megar, a condicão de rigidez da ligação permitiria que fosse transmitida das megar somente uma condicão de rigidez, de forma das barras comprimidas:

$$\sigma = \frac{P}{b} \leq \bar{\sigma}_c, \quad (14)$$

be

onde b é a largura das megar, e σ sua expressão é $\bar{\sigma}_c$ é a tensão admissível à compressão do seu material.

A largura b das megar é dada por

$$b = \frac{P}{\bar{\sigma}_c e}, \quad (15)$$

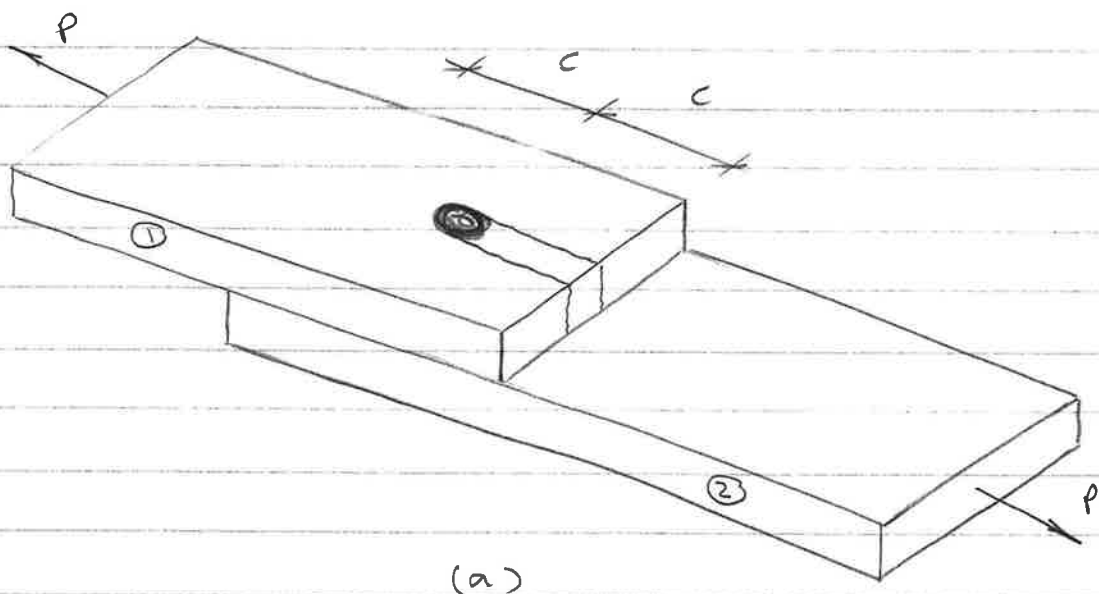
Quando se tem ligação de bolas com primidas, as outras duas verificações de segurança - a tensão de roldamento nos rebites e da tensão de contato entre o rebite e as bolas - são feitas igualmente da mesma forma que no caso das ligações de bolas tracionadas.

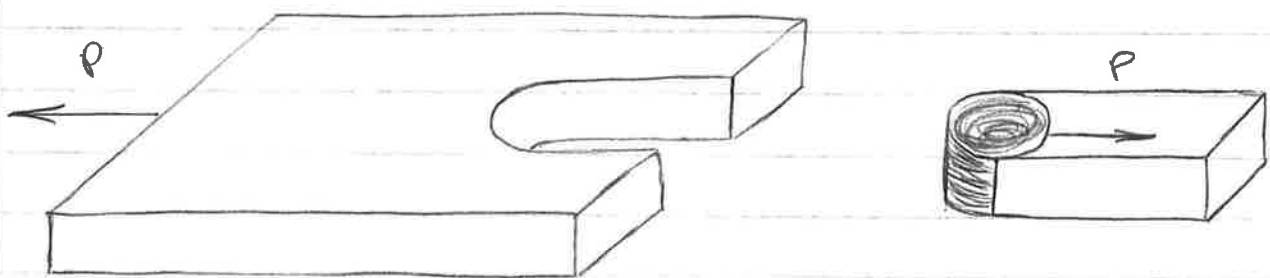
d) Verificações da tensão de roldamento das bolas

Existi ainda uma outra verificação de segurança para dizer se tem, a da tensão de roldamento nas bolas.

Se a distância c entre o centro do rebite e a borda das bolas for grande, o rebite suportará as bolas.

Na Fig. 19(a) estão animados os planos em que se dará o corte da bola 1; na Fig. 19(b) o modo de segurar este bolo em um suporte indicado em perspectiva.





(b)

Fig. 19

nos planos longitudinais em que se deu
migração da massa horizontal para, assim, aumentar as
tensões de usinagem nos batedores na Fig. 20.

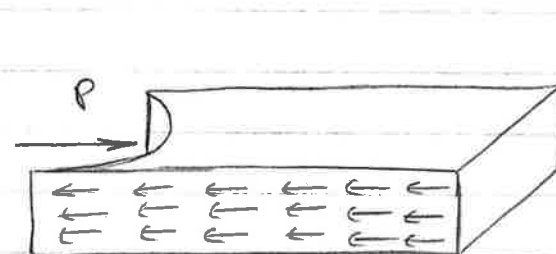


Fig. 20

Estas tensões são iguais a

$$\tau = \frac{P}{2ce}, \quad (16)$$

depois a consideração da migração da ligação provoca
ao longo das massas que resulta reduzida por

$$\tau = \frac{P}{2ce} \leq \bar{\sigma}, \quad (17)$$

onde \bar{E} é a tensão admissível ao ushamento
de material da tira; o valor de c é obtido de
(17):

$$c = \frac{\delta}{2e\bar{E}} \quad (18)$$

A verificação de tensão do ushamento do material
das tiras permit, portanto, determinar a distância c
entre os centros de rebite e a borda transversal das
tiras.

Com esta última verificação, completa-se o dimensionamento
transversal da ligação mostrada na Fig. 1, tendo-se
determinados todos as dimensões das tiras 1 e 2 e
do rebite por si só.

A junta mostrada no Exemplo 1 não é muito
de junta por engomaria, pois uma tira é colo-
cada sobre a outra.

Entendendo, no próximo exemplo, uma junta
de tira, em que as tiras são sempre ligadas já
coladas uma na frente da outra, empregando
tiras auxiliares - chamadas tiras sobre-juntas -
para uní-las.

Exemplo 2

Dois tiras transversais são unidas por meio
de rebites, como se mostra na Fig. 21.

Determine a tensão a ligação.

tridimensional p. 45

No exemplo 1, a força aplicada em uma das megas, por exemplo a mega 2, na transferida diretamente à mega 1 pelo slide. Neste exemplo 2, a transferência de esforços da mega 2 à mega 1 é feita de forma indireta: ao tentar se deslocar, a mega 2 leva consigo as megas 3 e 4, à pressão estabelecida por elas; as megas 3 e 4 tendem então a deslocar-se, levando juntas a mega 1, à pressão também estabelecida por elas; quando a mega 1 se move, impulsiona o movimento da mega 2, que fica apelidada, dando-lhe assim a transferência de esforços da mega 2 à mega 1.

As duas ligações têm, portanto, comportamentos bastante distintos.

Passa-se a juntar os dimensionamentos da ligação, que se faz de forma a se ter 4 juntas, com adaptação aos diferentes modos de agir que possam:

Var de dano: $d = 1,0 \text{ cm}$

$$\bar{\sigma}_{\text{máx}} = 16 \text{ kN/cm}^2$$

$$\bar{\sigma}_{t, \text{máx}} = 12 \text{ kN/cm}^2$$

$$\bar{\sigma}_{b, \text{máx}} = 24 \text{ kN/cm}^2$$

$$\bar{\sigma}_{\text{máx}} = 9 \text{ kN/cm}^2$$

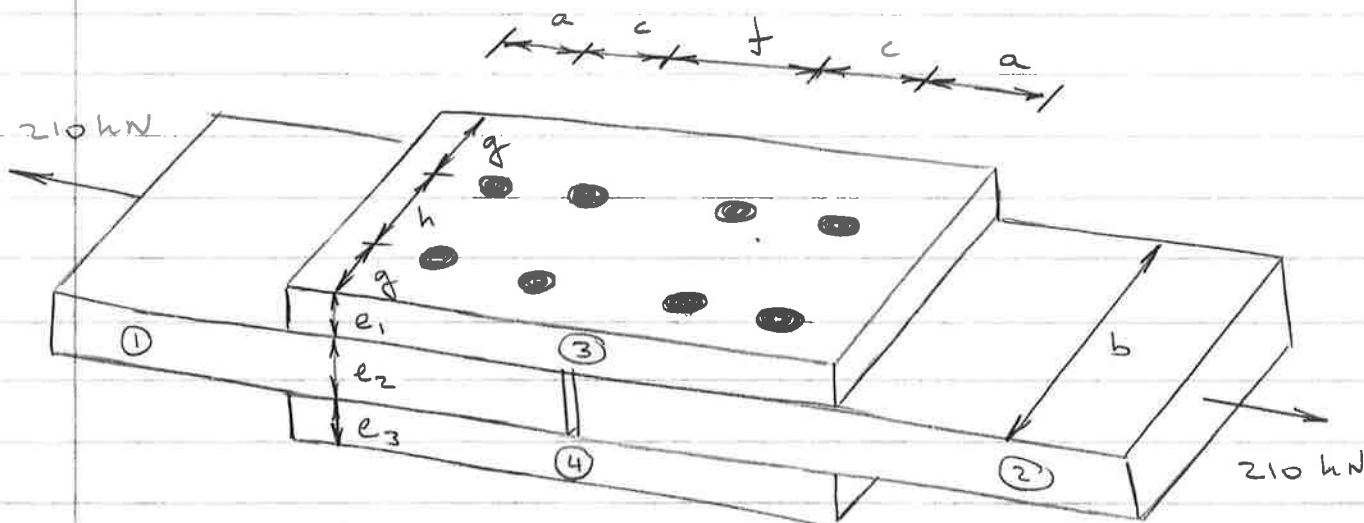


Fig. 21

Um-n next example uma função de topo, em
uma duas telas traçadas - as telas 1 e 2 - são
lajes por mais de metade, engajando-se para
que duas telas que anel biane - as telas sobre-
-juntas 3 e 4.



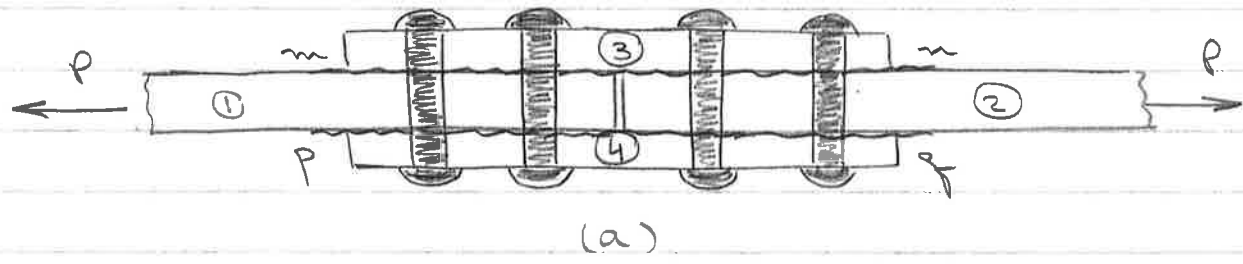
a) Verificar se da injunção da ligação permane-
cente das telas.

Na Fig. 22 (a) mostrada um varão longitu-
* telas a ferro é visto à p. 44.

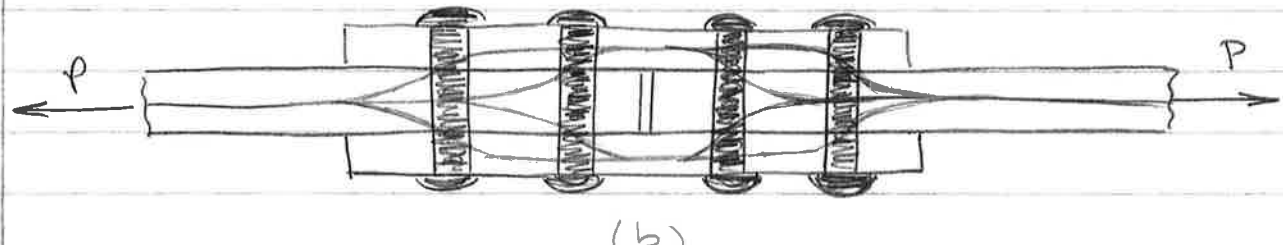
donal da ligação; na Fig. 22 (b) apresentam-se as linhas de transmissão das forças desde a mega 2 até a mega 1; na Fig. 22 (c) mostram-se individualmente cada um dos elementos da ligação e os esforços que nesses atuam, estando representadas as tensões de contato entre os rebites e as megaes, e indicadas as resultantes destas tensões; na Fig. 22 (d) mostram-se as megaes e paradas por um certo dos rebites nas suas extremidades nas interfaçadas megafendas das megaes 1 e 2 com as megaes 3 e 4, sendo indicadas as forças que atuam nas rebeites em que ficaram localizados os rebites.

Admite-se, na Fig. 22, que os rebites unem a mega 2 às megaes 3 e 4 e que outros os rebites unem a mega 1 às megaes 3 e 4, num total, portanto, de 2m rebites na ligação.

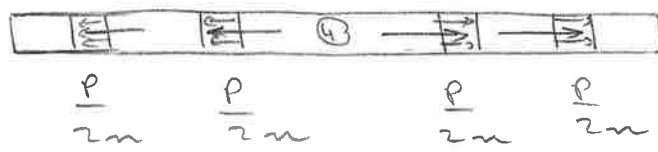
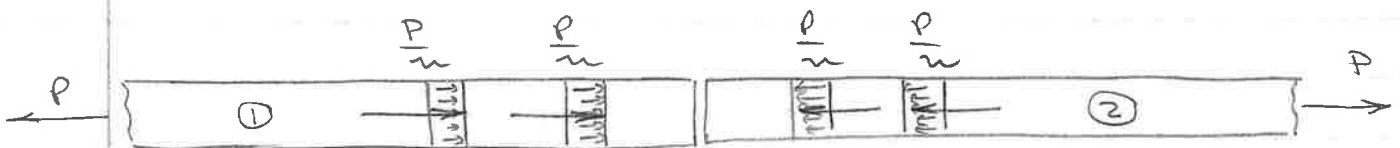
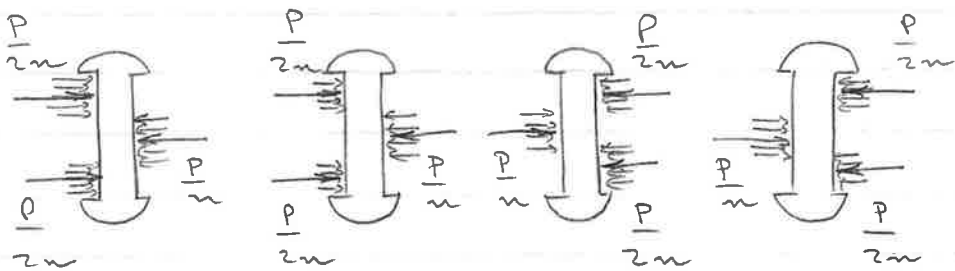
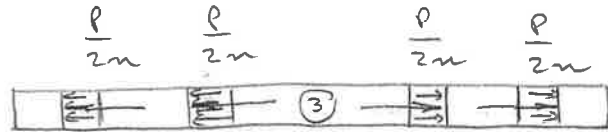
Admite-se, também, que todos os rebites que ligam a mega 2 às megaes 3 e 4 trabalham igualmente, isto é, que cada um deles transmite a mesma força da mega 2 às megaes 3 e 4; o mesmo se diga com relação aos rebites que ligam a mega 1 às megaes 3 e 4.



(a)



(b)



(c)

* volcar en todos los γ abaixo da Fig. 22:

A vista esquemática da Fig. 22(c) mostra claramente como se dá a transferência de esforço entre os diferentes elementos da ligação, e como se dar o equilíbrio de cada um deles.

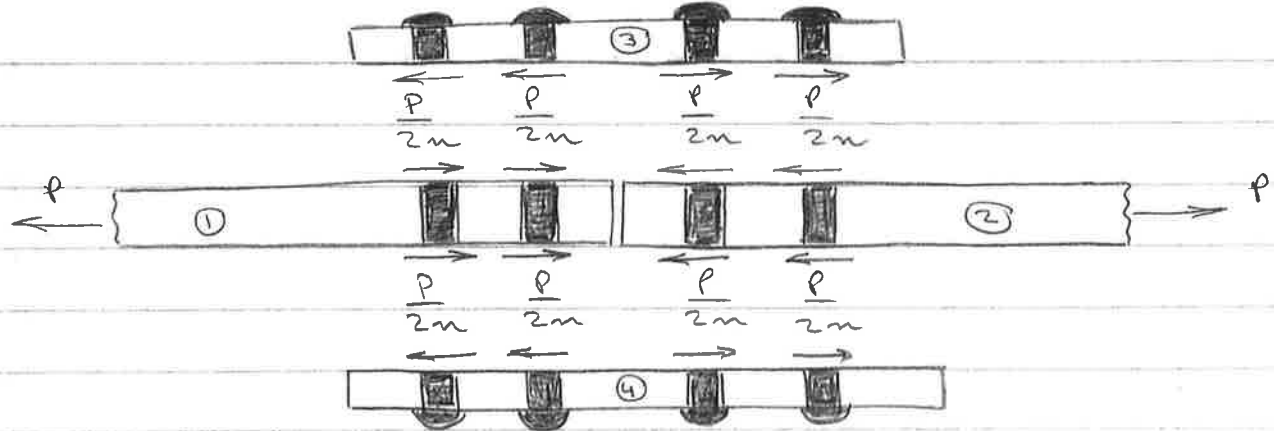
Observa-se, nas Figs. 22(c) e (d), que metade da força aplicada na heira 2 é transferida para a heira 3 e a outra metade, para a heira 4, passando de las heiras para a heira 1.

Nota-se, ainda, que, ao contrário do que ocorre no exemplo anterior, os rebites só são agora submetidos a um esforço nenhuma tensão, não se dando a perda de rotação da

(continua na p. 50)

lijas y verificada no exemplo 1, mostrada na Fig. 6.

Esta é uma variação das juntas de topo com rebaixas juntas por engomado, pois, não devendo a rebala da ligaçāo, não haverá nenhuma interferência entre os furos secundários analisados no exemplo anterior.



(d)

Fig. 22

→ solucion apresentada a p. 48.

Se se aumentar o valor da força P aplicada às beiras, ocorrerá a migração da ligação por engomado das beiras, como se mostra na Fig. 23, para que ocorra o engomado das beiras 1 e 2, e queira-se que cada uma das seções que as unem as beiras 3 e 4 se rompa em duas seções transversais, as quais sejam nas interfaces entre elas mesma e das beiras 1 e 2 como as beiras 3 e 4.

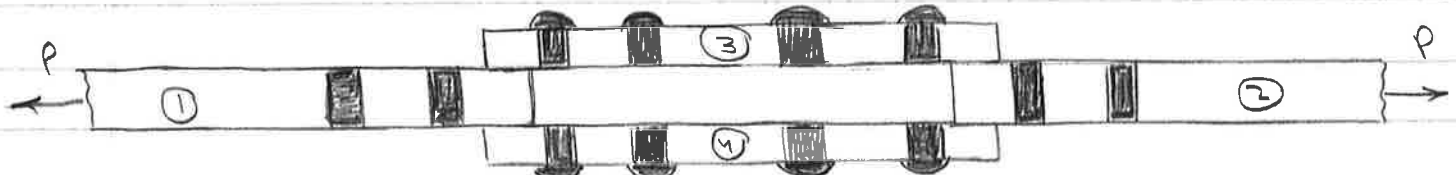


Fig. 23

No exemplo 1, a segurança da ligação é dada pelo corte de uma unica seção do alente, a seção m₁ da Fig. 1(a). Neste caso, para ter uma aliaça muito resistente do alente, o alente possui uma unica seção resistente, pelo qual passa toda a força transferida pelo alente.

No exemplo 2, a segurança da ligação é dada pelo corte de duas seções dos alentes, as seções m₁ e m₂ da Fig. 22(a). Neste caso, para ter um trabalho maior de corte do alente, o alente possui duas seções resistentes, e por cada uma delas passa metade da força total transferida pelo alente.

Nestas seções resistentes do alente a velocidade de corte é constante, pois todas existem a tendência de uma parte do alente esmagá-la sobre a outra, em plano de corte transversal.

O corte passa nestas seções e é caracterizado pela força constante $V = P/2n$ para as velocidades (Fig. 22(d)), e a condição de segurança da ligação passa ao corte dos alentes a exigência que

$$\sigma = \frac{V}{\pi d^2} = \frac{P}{2n \pi d^2} = \frac{2P}{n \pi d^2} \leq \bar{\sigma}_{\text{alente}}, \quad (19)$$

de onde se tem o número n de alentes que devem ser utilizados em cada lado da ligação:

$$n \geq \frac{2P}{\pi d^2 \bar{\sigma}_{\text{alente}}}. \quad (20)$$

Com os dados mínimos do problema, obtém-se

$$\text{nr}, \frac{2 \cdot 210}{\pi \cdot 1,0^2 \cdot 16} = 8,4 \quad (21)$$

Adota-se $n = 9$.

Como neste exemplo o tipo de suporte é um suporte na ligação e é conhecido, a verificação da segurança relativamente ao corte dos rebites permite determinar os mínimos de rebites que devem ser empregados.

b) Verifique se a segurança da ligação suporta o emmagajamento das megas.

No fig. 22 (c) mostramos as forças de tensão entre os rebites e as megas.

A condição de segurança relativamente ao emmagajamento das megas 3 e 4, tem expressão:

$$\sigma_b = \frac{\rho}{2n \cdot d} \leq \bar{\sigma}_b; \quad (22)$$

A condição de segurança relativamente ao emmagajamento das megas 1 e 2, tem expressão:

$$\sigma_b = \frac{\rho}{n \cdot d} \leq \bar{\sigma}_b. \quad (23)$$

As duas expressões devem

$$e_1 \geq \frac{P}{2n d \bar{\epsilon}_b} = \frac{210}{2 \cdot 9 \cdot 1,0 \cdot 24} = 0,49 \text{ cm} \quad (24)$$

e

$$e_2 \geq \frac{P}{n d \bar{\epsilon}_b} = \frac{210}{9 \cdot 1,0 \cdot 24} = 0,97 \text{ cm} \quad (25)$$

A determinar para assegurar os valores

$$e_1 = 0,5 \text{ cm}$$

(26)

e

$$e_2 = 1,0 \text{ cm}$$

(27)

c) Verificar a segurança da ligação mantendo a mesma das hélices por baixo.

Já se comenta que os furos se fazem em as hélices, pois limitam os maiores transversais.

Será feito o dimensionamento das hélices a traços, devendo, portanto, conhecer a distância dos rebites na ligação, para que se possa localizar a dimensão da área envolvida pelos furos.

Oclaro, neste exemplo, pode-se ver os nove rebites de cada lado da ligação entre fileiras três rebites em cada uma, como se mostra na Fig. 24.

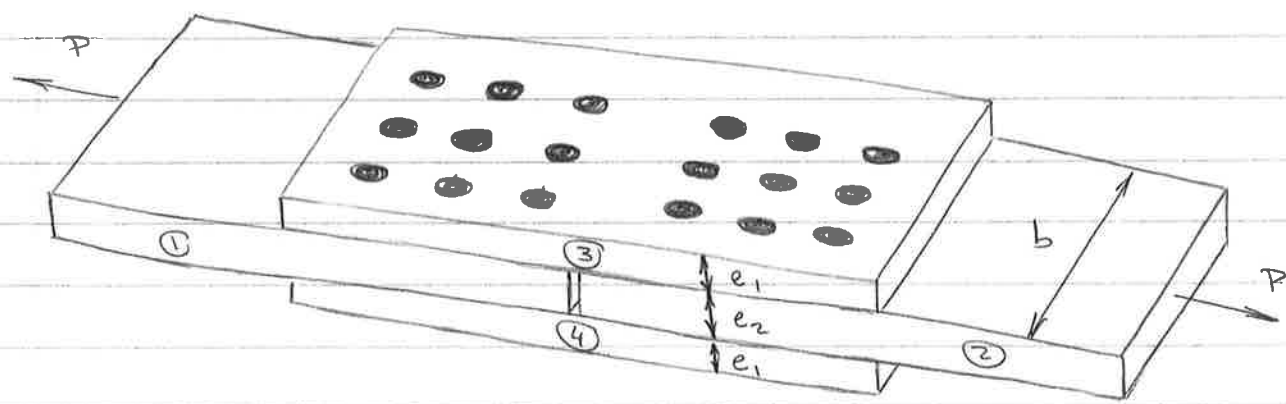


Fig. 24

Faz-nos agora a verificação da força 3'a trago. Na Fig. 25 apresentamos forças que nela atuam.

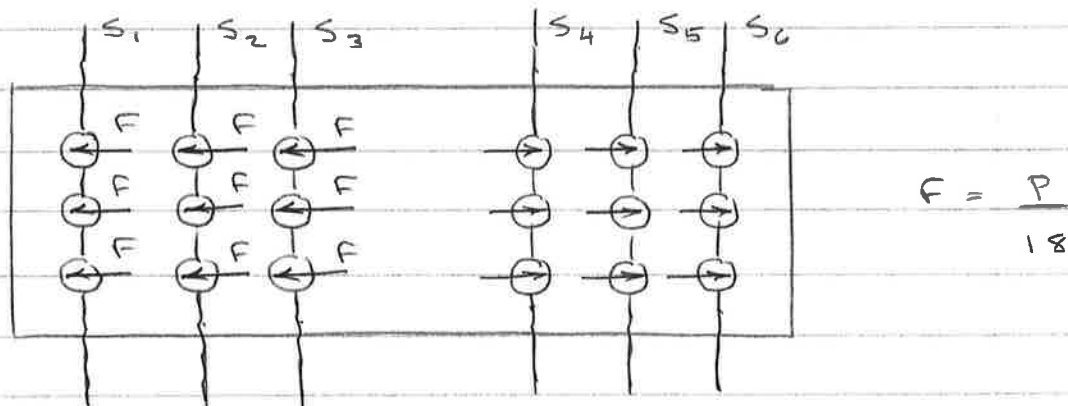


Fig. 25

nas trilhas transversais mas em fraqueza das pilhas temos têm-se as seguintes forças normais de trago:

$$\bullet \text{ para } S_1 \text{ e } S_6: N = 3 \cdot \frac{P}{18} = \frac{P}{6} = \frac{210}{6} = 35 \text{ kN}$$

$$\bullet \text{ para } S_2 \text{ e } S_5: N = 6 \cdot \frac{P}{18} = \frac{P}{3} = \frac{210}{3} = 70 \text{ kN}$$

$$\bullet \text{ para } S_3 + S_4: N = 9, \frac{P}{18} = \frac{P}{2} = \frac{210}{2} = 105 \text{ kN}$$

O dimensionamento da chapa 3 à traço deve ser feito, portanto, para as reções $S_3 + S_4$:

$$\sigma_t = \frac{\frac{P}{2}}{(b - 3d)e_1} \leq \bar{\sigma}_t, \quad (28)$$

deveremos

$$b \geq \frac{P}{2e_1 \bar{\sigma}_t} + 3d. \quad (29)$$

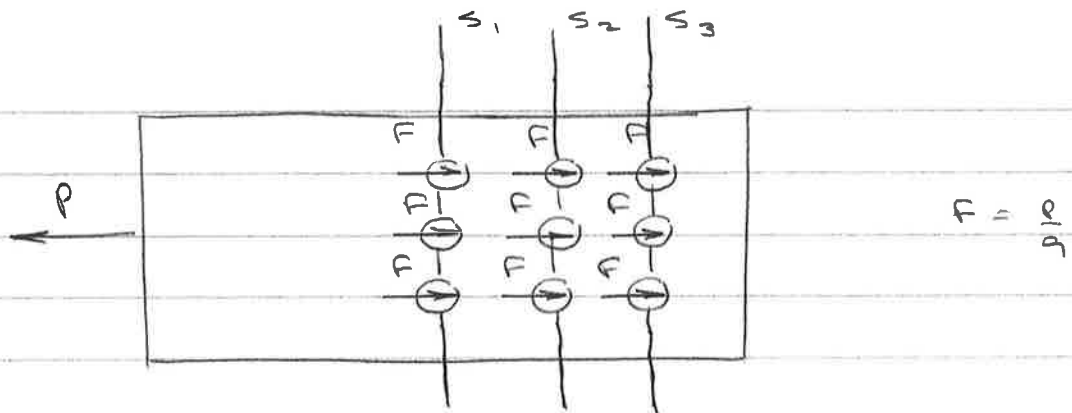
Com os dados numéricos do problema, tem-se

$$b \geq \frac{210}{2 \cdot 0,5 \cdot 12} + 3 \cdot 1,0 = 20,5 \text{ cm.} \quad (30)$$

esta verificação é aplicada também à chapa 4, pois, por simetria, as chapas 3 e 4 têm exatamente o mesmo dimensionamento.

O valor que usaremos para b ainda não pode ser definitivo, pois depende também da verificação das chapas 1 e 2 à traços, já que se denuncia que todas as chapas da ligação possuem a mesma largura.

Na Fig. 26 apresenta-se a chapa 1 e as forças por unidade de comprimento.



$$F = \frac{P}{9}$$

Fig. 26

O dimensionamento da chapa 1 deve ser feito para a unidade S_1 , onde a força normal da tampa é igual a P :

$$\sigma_t = \frac{P}{(b - 3d)e_2} \leq \bar{\sigma}_t, \quad (31)$$

ou seja

$$b \geq \frac{P}{e_2 \bar{\sigma}_t} + 3d = \frac{210}{1,0 \cdot 12} + 3 \cdot 1,0 = 20,5 \text{ cm.} \quad (32)$$

Sobre a resistência da ligação, observa-se que esta deve ser verificada na figura também à chapa 3.

Notando que as duas limitações inferiores para b , dadas pelas equações (30) e (32), são iguais, o que indica que a força normal máxima da chapa 1 é de 3 vezes da da chapa 3, sua espessura e_2 é também 3 vezes a da chapa 3, sua largura b é também 3 vezes a da chapa 3.

A despejar, então,

$$b = 20.5 \text{ cm.}$$

(33)

a verficação da rigidez da ligação prende à
máxima das chapas por trás permitindo dimensionar
a largura b das chapas.

Tal la ação determina a tensão que se tem
se deve colocar os rebites, visto, determinar as distâncias
entre os rebites e entre os rebites e as bordas
das chapas.

d) Verificação da rigidez da ligação prende as varas
das chapas.

Na Fig. 27, mais uma vez mostra-se a chapa 1. A
distância i entre o centro dos rebites e a borda
transversal da chapa é determinada de forma
a haver rigidez suficiente entre da chapa
pelos rebites.

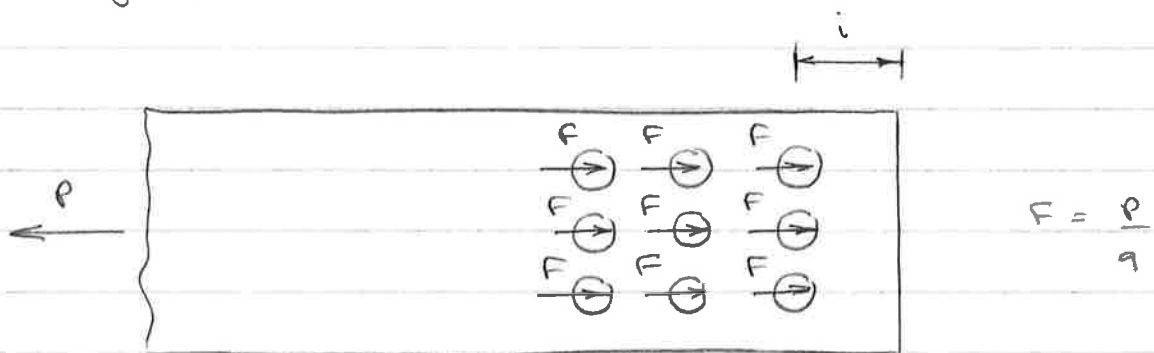


Fig. 27

a condição de rigidez da sua fixação é

$$\tau = \frac{F}{\tau_{er}} \leq \bar{\tau}_{\text{chapa}},$$

(33)

lo jo

$$i > F$$

(34)

$2 e_2 \bar{E}$ moga

neste exemplo, moga = a

$$i = \frac{210}{2.9.1.0.9} = 1,30 \text{ cm.}$$

(35)

Sobre a simetria da ligação, esta deve ser também a distância entre os centros dos rebites e a medida transversal da moga 2.

Não é de fácil verificação, também no caso das moças sobre-junta 3+4, as distâncias a medidas na Fig. 21, entre os centros dos rebites e as medidas transversais das moças, devem ser a dada por (35).

Para que o dimensionamento da ligação fique completo, falta determinar a distância q entre os centros dos rebites e as medidas longitudinais das moças, e as distâncias c + h entre os centros dos rebites.

Salvo - se, da verificação das moças à traçado, que

$$2g + h = b = 20,5 \text{ cm.}$$

(36)

esta condicão, para garantir que mantenha a separação da ligação planaria entre a separação das megas para trás, não é suficiente para impedir migrações para trás localizadas, já que os outros uritátes uritátes forem solvados muito próximos das bordas longitudinais das megas.

Na Fig. 28 mostramos a caminhada num dos uritátes em uma mega de uma ligação em que possuem ligados algumas das uritátes solvadoras muito próximas das bordas

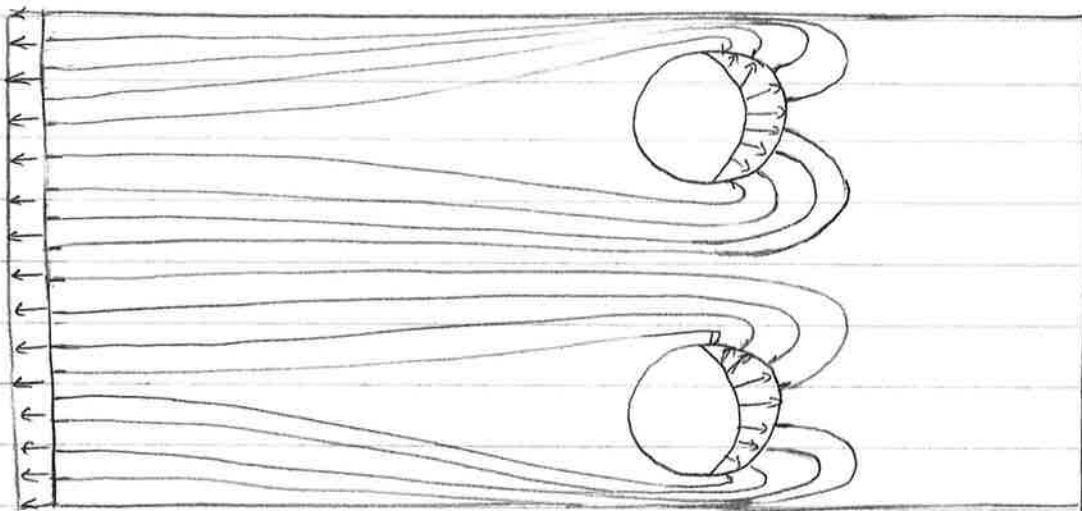


Fig. 28

Observar-nos na figura que há uma grande concentração de tensões nos turmos da mega situados entre os uritátes e as bordas longitudinais, podendo levar a migrações localizadas da mega nestas regiões, como se mostra na Fig. 29.

Para garantir que haja segurança da ligação planaria este tipo de migração localizada, devem-se deixar entre os uritátes dos uritátes e as bordas longitudinais das megas uma distância igual

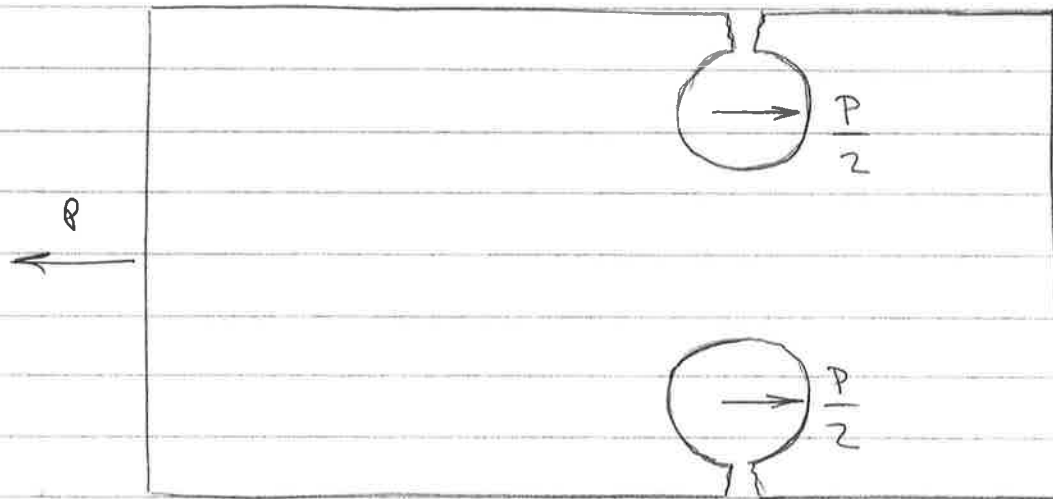


Fig. 29

ou inferior a uma distância considerada entre as normas de projeto e sempre das estruturas de apoio formam os valores das distâncias mínimas a serem respeitadas; no caso da norma brasileira, a NB-14, de 1986, esta distância mínima depende do diâmetro do rebite, variando de 1,25 d a 1,50 d.

Se nenhuma delas adotar-se aí como distância mínima 1,5 d em todos os casos, qualquer que seja o diâmetro do rebite.

Neste exemplo 2, tem-se o cálculo

$$g \geq 1,5 \cdot 1,0 = 1,5 \text{ cm.}$$

(37)

além da distância mínima entre os centros dos rebites e as bordas longitudinais das chapas, as normas também estipulam que deve ser a distância mínima entre os centros dos rebites e as bordas transversais das chapas e

final deve ser a distância mínima entre os centros de dois nódulos vizinhos.

A distância mínima entre os centros dos nódulos e as bordas transversais das megas, como já se determinou, deve garantir a segurança da ligação entre os centros das megas pelos nódulos.

A norma brasileira não faz distinção entre as bordas das megas, e estipula uma única distância mínima a ser observada entre os centros dos nódulos e as bordas das megas, para que fiquem seguras: longitudinal, transversal, ou mesmo obliqua.

Este mínimo, como se constata na figura, varia de 1,25 d a 1,50 d, tendo-se adotado, fundamentalmente, 1,50 d como seu valor.

No caso deste exemplo, tem-se, então, de acordo com a norma brasileira:

$$a = c \Rightarrow 1,5 d = 1,5 \cdot 1,0 = 1,5 \text{ mm.} \quad (38)$$

A aderção do nódulo estipulada pelas normas garante a segurança da ligação quanto ao centro das megas pelos nódulos, e despende-se, no entanto, suplementarmente, esta verificação de segurança.

No presente exemplo, esta verificação já havia sido feita, tendo-se chegado a

$$a = c \Rightarrow 1,3 \text{ mm,} \quad (39)$$

tendo-se adotado

Trecho a ser inserido na p. 73:

temos à vista de olharmos, aqueles construções de resistência determinam os valores máximos das distâncias entre os centros dos rebites e as bordas das chapas e entre os centros de rebites vizinhos.

Devem-se respeitar também valores máximos para estas distâncias, impostos para garantir uma eficaz solidarização das peças, para estes sejam unidas; no caso das peças temos que manter, a distância superior do organamento longitudinal dos rebites tem também como objetivo impedir que nela migre a tensão plástica já localizada das chapas.

A NB-14/86 estipula que as distâncias entre os centros dos rebites e as bordas das chapas não devem exceder a 12 vezes a espessura da parte ligada, nem a 15 mm.

As distâncias máximas entre os centros de rebites vizinhos determinadas pela NB-14/86 dependem do tipo das peças, para estes sejam unidas, e não só a que se refere a fio.

$$a = c = 1,3 \text{ cm},$$

(40)

valores para a bastante próximos aos determinados pela norma brasileira.

De forma a satisfazer a NB-14/86, basta-se a adotar este exemplo:

$$a = c = 1,5 \text{ cm}.$$

(41)

a distância mínima a ser deixada entre os centros de rebites vizinhos é de natureza constante; deve-se deixar entre os rebites um espaço que permita uma boa fixação das madeiras numa boa colocação dos rebites, ou seja, deixar espaço suficiente para que a garrá utilizada tenha a ferramenta em posição para fixar as madeiras para formar as calhas dos rebites.

A NB-14/86 estipula que a distância mínima entre os centros de rebites vizinhos seja $3d$; no presente exemplo, deve-se ter, portanto,

$$h >, 3d = 3 \cdot 1,0 = 3,0 \text{ cm}$$

(42)

e

$$c >, 3d = 3 \cdot 1,0 = 3,0 \text{ mm.}$$

(43)

* →

Sempre agradece-se a determinar todas as distâncias entre rebites indicadas na Fig. 30.

* voltar a pág. 70.

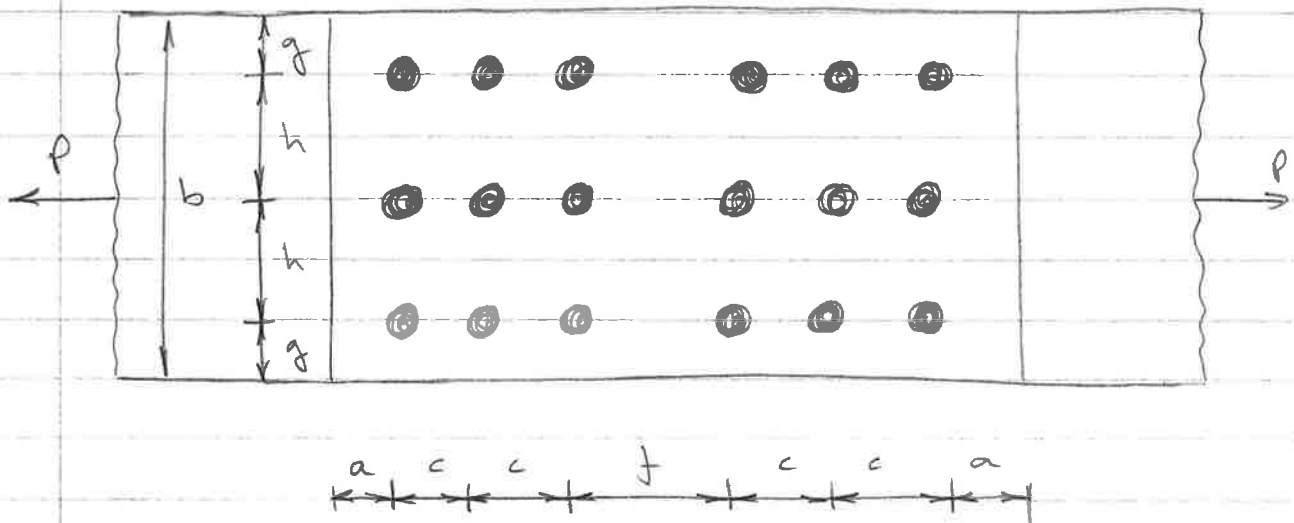


Fig. 30

Já foram obtidos os valores de a e de $i = \frac{f}{2}$:

$$a = i = \frac{f}{2} = 1,5 \text{ mm}, \quad (44)$$

Logo

$$f = 2i = 3,0 \text{ mm}. \quad (45)$$

Também se determinou que

$$b = 2g + 2h = 20,5 \text{ mm}; \quad (46)$$

tem-se ainda que

$$g \geq 1,5 \text{ mm} \quad (47)$$

(48)

$$h > 3,0 \text{ mm.}$$

Ado lazo para $g = 0$ valor mínimo

(49)

$$g = 1,5 \text{ mm.}$$

obténse para h

$$h = b - \frac{2g}{2} = \frac{20,5 - 2 \cdot 1,5}{2} = 8,75 \text{ mm.} \quad (50)$$

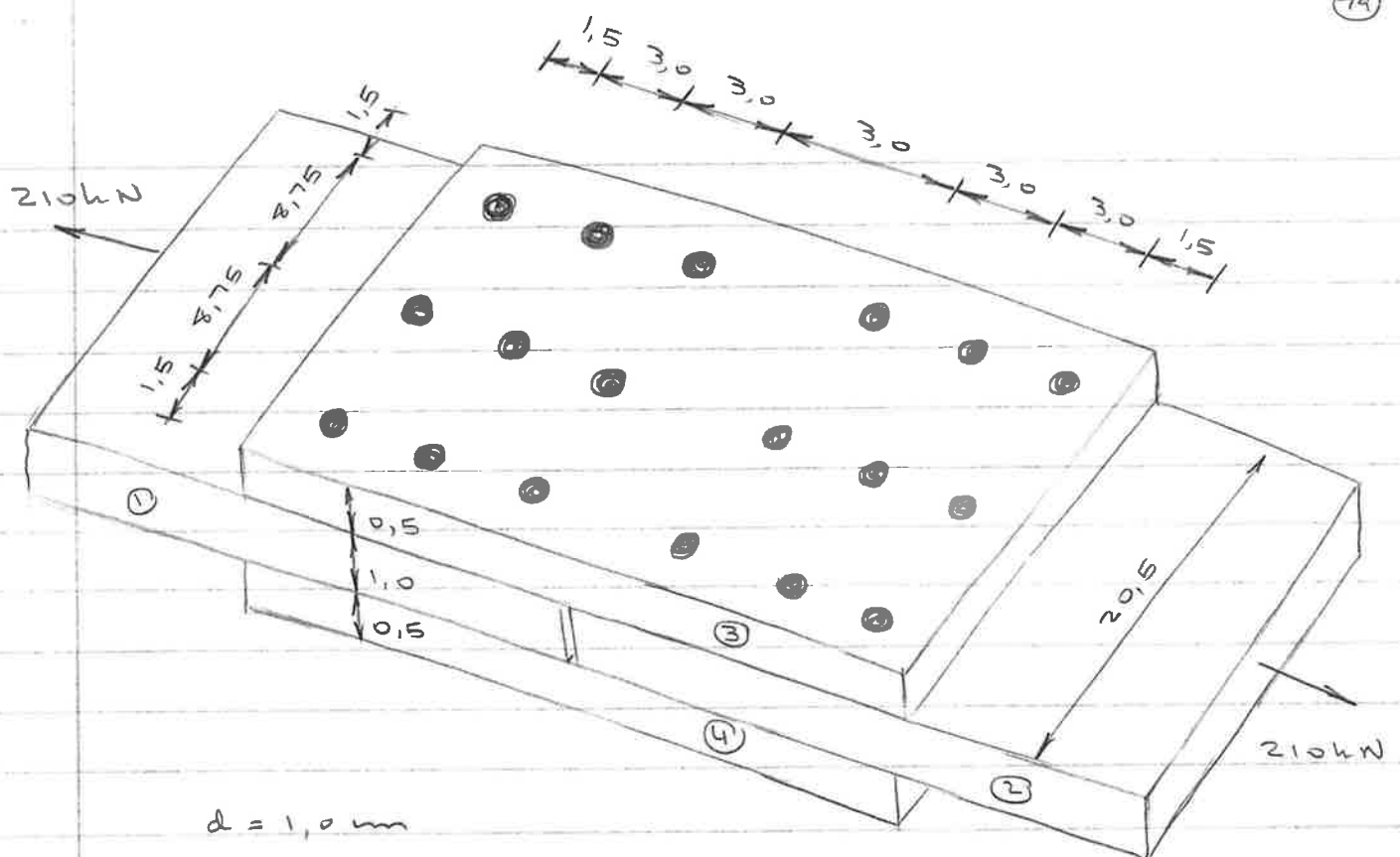
Finalmente, adotar-se também para $c = 0$ valor mínimo

(51)

$$c = 3,0 \text{ mm.}$$

Estas ações determinadas as medidas dos rebites, tendo-nos em consideração o dimensionamento da ligação.

Na Fig. 31 indicam-se todas as dimensões obtidas.



medidas em cm

Fig. 31

Examina-se agora mais uma unidade de bases transversais.

Exercice 3

Devem varar a ligação da tigela da Fig. 32, em que duas baras de madeira são unidas por meio de duas peças de argamassa.

São dados:

$$\bar{t}_{\text{madura}} = 6 \text{ kN/mm}^2$$

$$\bar{F}_t \text{ madeira} = 10 \text{ N/mm}^2$$

$$\overline{\sigma}_{\text{modulus}} = 20 \text{ kN/mm}^2$$

$$\overline{E}_{act} = 12 \text{ kN/m}^2$$

$$\bar{\sigma}_{t\text{ bay}} = 15 \text{ kN/m}^2$$

$$\bar{\tau}_{b\text{ bay}} = 30 \text{ kN/m}^2$$

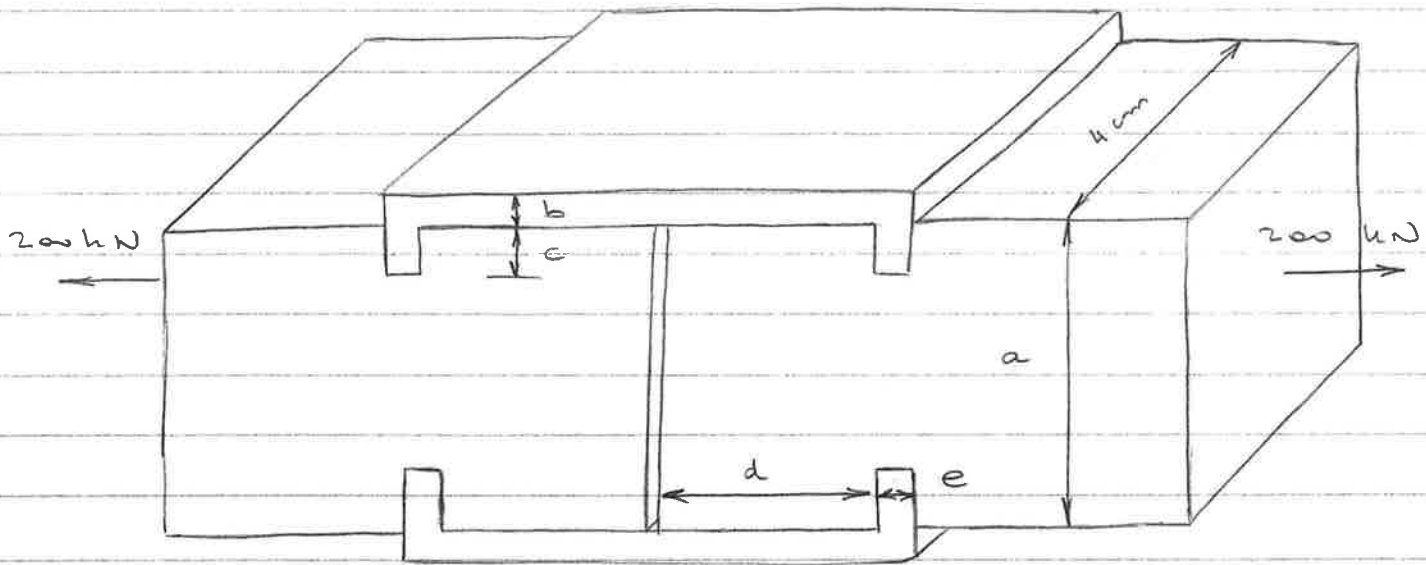


Fig. 32

Na Fig. 33 indicam-se as dimensões e fixações das ligações.

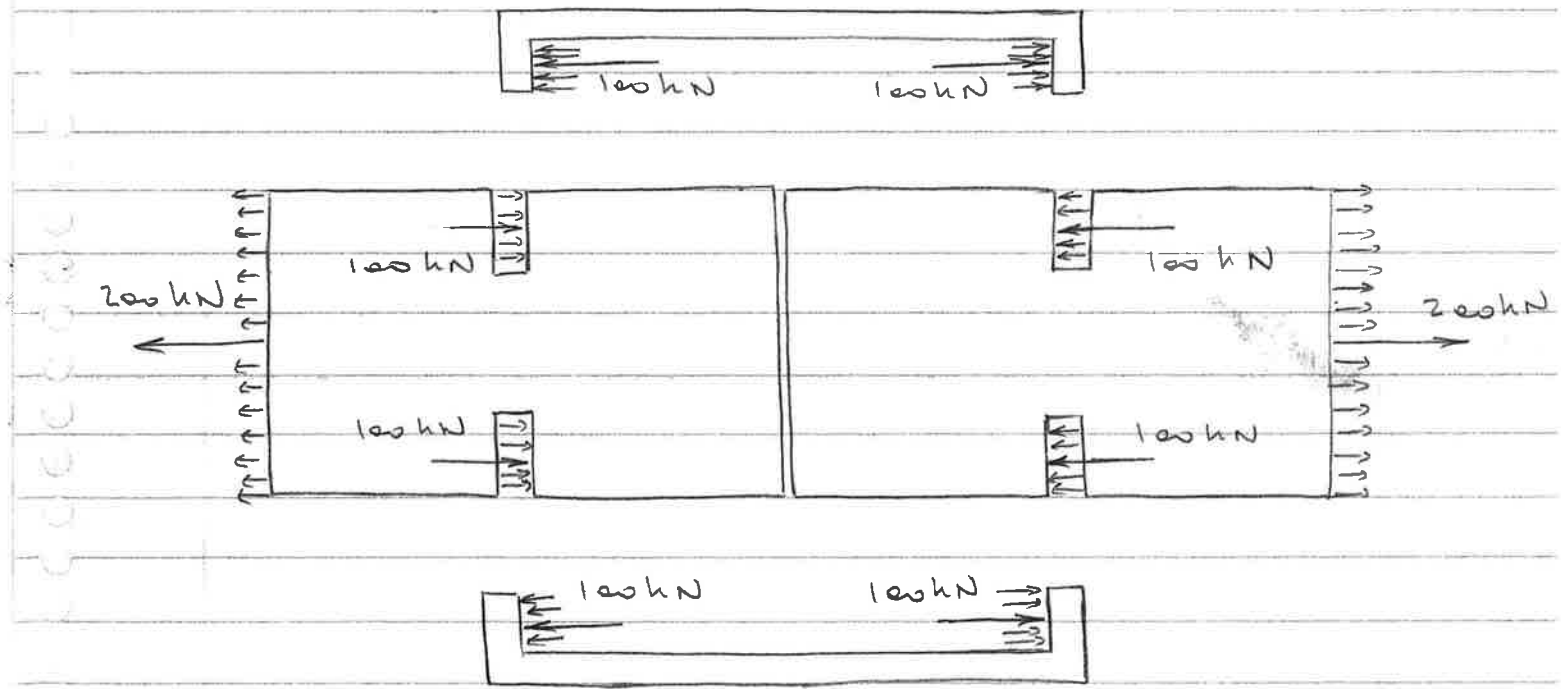


Fig. 33

as verificações de segurança necessárias são:

a) Verificações da segurança da ligação franhada entre das barras de madeira.

Na Fig. 34 mostram-se as trincas em que se pode dar a ruptura das barras de madeira para certos tipos (ver S. 1).

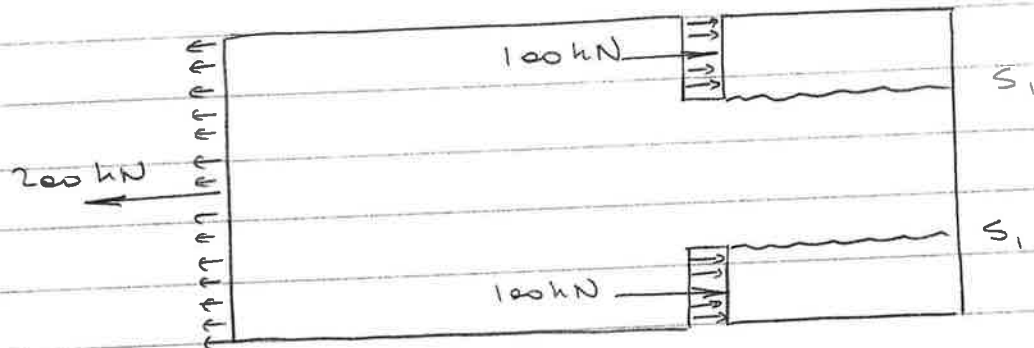


Fig. 34

a verificação da segurança da ligação franhada entre das barras de madeira é:

$$\bar{\sigma} = \frac{100}{4 \cdot d} \leq \bar{\sigma}_{\text{madeira}} = 6,$$

(52)

de onde se obtém

$$d > \frac{100}{4 \cdot 6} = 4,2 \text{ cm.}$$

(53)

adotar-se

$$d = 4,2 \text{ cm.}$$

(54)

b) Verificar a segurança da ligaçaõ pranchas as esmagamento das bamas de madeira.

Em - n neste problema dois materiais em contato: madeira e aço. A segurança pranchas as esmagamento deve ser obviamente verificada para o menos resistente delas, a madeira, como se a grande das turmas de contato admitem.

A condiçao de segurança da ligaçao pranchas esmagamento das bamas de madeira pelas pranchas de aço é:

$$\sigma_b = \frac{100}{4 \cdot c} \leq \bar{\sigma}_{b \text{ madeira}} = 20,$$

(55)

de modo

$$c > \frac{100}{4 \cdot 20} = 1,3 \text{ cm.}$$

(56)

Adotar - se

$$c = 1,3 \text{ cm.}$$

(57)

c) Verificar a segurança da ligaçao pranchas a rotação das bamas de madeira por traços

a rotação das bamas de madeira por traços

pode-se ter em uma das viga transversais em função das cargas variáveis em função das variações das forças de apoio (vige S_2 da fig. 35)

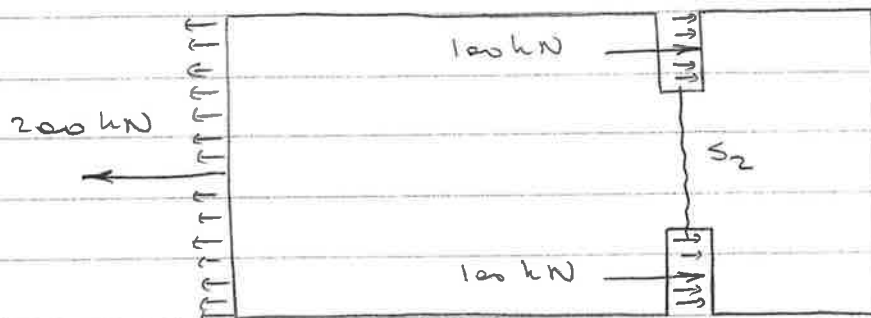


Fig. 35

A condição de segurança relativa mente à rigidez da barra por trás é:

$$\frac{G_b}{G_t} = \frac{200}{4(a - 2c)} \leq \frac{\bar{G}}{G_{\text{madeira}}} = 10, \quad (58)$$

de onde obtemos

$$a \geq \frac{200}{4 \cdot 10} + 2c = 5 + 2 \cdot 1,3 = 7,6 \text{ cm.} \quad (59)$$

Adotarmos

$$a = 7,6 \text{ cm.} \quad (60)$$

d) Verificação da segurança da ligação entre as varetas de apoio.

as guias de aço podem suportar o peso total que
mas visto S_3 vindicadas na Fig. 36.

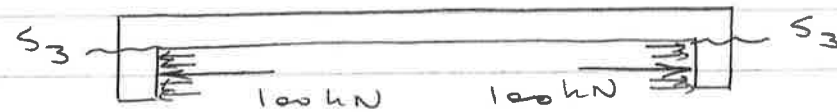


Fig. 36

A condição de segurança matematicamente é:
das guias de aço se

$$\frac{e}{l} = \frac{100}{4 \cdot e} \leq \frac{e}{l_{\text{seg}}} = 12, \quad (61)$$

de onde se tem

$$e \geq \frac{100}{4 \cdot 12} = 2,1 \text{ cm.} \quad (62)$$

Adotar-se

$$e = 2,1 \text{ cm.} \quad (63)$$

e) Verificação da segurança frente à ruptura
das guias de aço por traçado

as guias de aço podem suportar o peso
total em função das transversais S_4 mostradas
na Fig. 37.

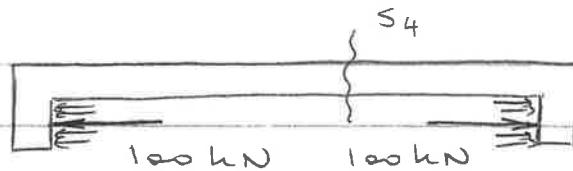


Fig. 37

A demanda de rigidez relativamente à altura das peças de aço para ligar é:

$$\sigma_t = \frac{100}{4 \cdot b} \leq \bar{\sigma}_{t\text{ aço}} = 15, \quad (64)$$

devem ser

$$b \geq \frac{100}{4 \cdot 15} = 1,7 \text{ cm}. \quad (65)$$

Adotam-se

$$b = 1,7 \text{ cm}. \quad (66)$$

Estas peças terão as variações de rigidez necessárias, e um canto-aço dimensionado a ligar. Na fig. 38 estão montadas as dimensões obtidas.

